

## 蛇类喉门运动的力学现象

THE MECHANICAL PHENOMENON OF OPENING AND CLOSING  
MOVEMENT OF SNAKE GLOTTIS

关键词: 蛇目; 喉门; 形态学; 比较解剖

力学现象

Key words: Ophidia; Glottis; Morphology; Comparative anatomy

中图分类号: Q959.6+2 文献标识码: A 文章编号: 0254-5853(2000)06-0507-02

徐淑娟等(1998)曾经指出:蛇类喉门的两侧壁由杓状软骨构成,控制杓状软骨运动的3对肌肉是喉门开肌、喉门闭肌和环杓侧肌。笔者接着前文,分析前述肌肉的生理功能及其在蛇类喉门启闭运动中的力学现象。

## 1 喉门开肌、喉门闭肌和环杓侧肌的位置与作用

喉门开肌位于喉门外侧(图1:A、B),起于第1~5个气管环的侧面及腹面,止于杓状软骨外缘(即侧沟缘),其拉力( $F_1$ )方向朝外朝后,作用是令杓状软骨摆向外,开喉门。喉门闭肌覆盖在杓状软骨背面,起于环状背突中线,也止于杓状软骨外缘,止点排列在喉门开肌止点的背方,其拉力( $F_2$ )方向朝内朝后,作用是令杓状软骨摆向内,闭喉门。环杓侧肌十分短小,位于环状腹突两侧,大部被喉门开肌遮盖,起于环状腹突侧面,也止于杓状软骨外缘,止点排列于喉门开肌止点的腹方,其拉力( $F_3$ )方向朝前朝内,作用也是牵制杓状软骨摆向内,协助闭喉门。

## 2 喉门启闭的力学分析

这3条肌肉的止点都在杓状软骨侧沟缘,十分靠近,于是侧沟缘便成了共同受力点,而起点则分别位于三维空间的3个点,令 $F_1$ 、 $F_2$ 、 $F_3$ 互成 $90^\circ$ 角(图1:B、C),互相牵制。实测3条肌肉的面积,分别是28.37(20.72~32.10)、14.80(10.22~18.50)和4.03(3.10~5.25) $\text{mm}^2$ 。以此来判别3个拉力的大小次序是 $F_1 > F_2 > F_3$ 。杓状软骨与环状背突仅以一小点软骨相连(图1:D、E、F),这一小点成为杓状软骨摆动的轴心(O),杓状软骨可以围绕O点左右摆动,启闭喉门。由于喉门闭肌起点与O点十分靠近,因而闭喉时存在一个独特的力学现象。假如仅由喉门闭肌单独发挥作用,则可能产生3种情况(图1:D、E、F):①作环状背突侧缘的切线MN,过O点作MN的垂线OX,则OX轴便是杓状软骨左右摆动的中线。当杓状软骨的大部处于OX轴的外侧, $F_2$ 的合力落于OX轴外侧,

其作用结果不但不能闭喉门,反而令杓状软骨外摆,开喉门(即图1D所示);②当OX轴恰好处于杓状软骨纵向中部, $F_2$ 合力与OX轴重叠,作用力与反作用力互相抵消, $F_2$ 则不能左右杓状软骨(即图1E所示);③只有当杓状软骨的大部处于OX轴的内侧, $F_2$ 的合力落于OX轴内侧才能将杓状软骨拉向内,闭合喉门(即图1F所示)。有了短小的环杓侧肌的牵制作用,才令杓状软骨不外转,使之大部分处于OX轴内侧,构成图1F的态势,以便喉门闭肌的拉力 $F_2$ 发挥正常的闭喉作用。此外, $F_2$ 与 $F_3$ 所形成的合力(图1C之 $F_4$ )虽然只略略偏离原 $F_2$ 的方向,但已破坏形成图1D、1E态势的条件,防止图1D、1E情况的发生。合力 $F_4$

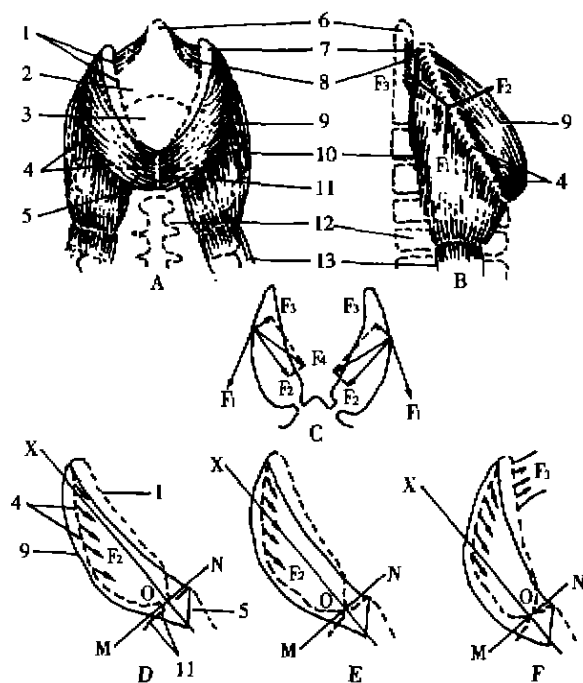


图1 蛇类喉部结构及喉门运动的力学现象  
Fig.1 The structure of larynx and the movement of glottis in snake

- A: 喉部背面观, 示喉部肌肉 (实线) 和软骨 (虚线) 的相关位置 [dorsal view of larynx to show the inter relationship of muscles (solid line) and cartilages (broken line)];
- B: 喉部左侧面观, 示 3 条肌肉的止点 (left view of larynx to show the insertions of the muscles);
- C: 杓状软骨受力分析图 (diagram to show the interaction of forces that control the movement of arytenoid cartilage);
- D: 左侧杓状软骨外摆,  $F_2$  的合力落在 OX 轴之外侧 (resultant force of  $F_2$  stands out side OX axis as the arytenoid cartilage is turned out);
- E: OX 轴位于杓状软骨中间,  $F_2$  的合力与 OX 轴重叠 (resultant force of  $F_2$  and OX axis overlap as the OX axis lies just on the medium

- line of arytenoid cartilage);
- F: 左侧杓状软骨内摆,  $F_2$  合力落在 OX 轴内侧 (resultant force of  $F_2$  stands in side the OX axis as the arytenoid cartilage is turned in)。
- 1: 杓状软骨喉门缘 (margo glottis); 2: 环状软骨 (cartilago cricoidea); 3: 喉门 (glottis); 4: 杓状软骨侧沟缘 (margo sulcus lateralis); 5: 环状背突 (processus cricoid dorsalis); 6: 环状腹突 (processus cricoid ventralis); 7: 杓状软骨 (cartilago arytaenoidea); 8: 环杓侧肌 (m. cricoarytaenoideus lateralis); 9: 喉门闭肌 (m. constrictor glottis); 10: 喉门开肌 (m. dilatator glottis); 11: 环状背突侧缘 (margo processus cricoid dorsalis lateralis); 12: 第 4 气管环 (fourth cartilago tracheae); 13: 喉收肌 (m. retractor laryngenus)。

亦大于  $F_2$ , 有助于闭喉运动。因此, 环杓侧肌虽然很小,  $F_3$  虽然很弱, 但其生理功能却是十分微妙的。

### 参 考 文 献

- 徐淑娟, 何海晏, 1998. 十种蛇喉部形态的比较 [J]. 动物学研究, 19 (1): 90~92.

何海晏

HE Hai-Yan

(广州大学生物系 广州 510405)

(Department of Biology, Guangzhou University, Guangzhou 510405, China)

## 动物学研究 (DONGWUXUE YANJIU)

## ZOOLOGICAL RESEARCH

### 第 21 卷 总目次索引

#### 第 1 期

编者寄语	(1): 1
突变型小鼠在学习记忆研究中的应用	梅镇彬 (1): 2
应用基于内源信号的光学成像技术的视觉脑研究现状	张 鹏 俞洪波 寿天德 (1): 7
神经内分泌因子调控鱼类生殖和生长的相互作用	林浩然 (1): 12
细胞凋亡与细胞程序性死亡	郑德根 (1): 17
国产避孕疫苗研究现状和前景	刘学高 (1): 23
大熊猫的系统地位与种群生态学的研究与进展	胡锦涛 (1): 28
中国对虾 16S rRNA 基因序列多态性的研究	邱高峰 常林瑞 徐巧婷 方雄英 楼允东 (1): 35
银环蛇神经毒素的分子克隆和功能表达 (英文)	钱友存 范春阳 胡太山 杨运桂 杨胜利等 (1): 41
黄龙大熊猫对华西箭竹选择与利用的研究	胡 杰 胡锦涛 屈植彪 杨冬雷 (1): 48
两种鸬鹚的种间生态位关系研究	周 放 房慧玲 (1): 52
夜鹭繁殖习性与生长发育研究	朱 曦 杨士德 邹小平 陈伟贞 任金波 (1): 58
浙江西部白颈长尾雉栖息地片断化研究	丁 平 姜仕仁 诸葛阳 (1): 65
西双版纳片断季节性雨林蚂蚁物种多样性研究	张智英 曹 敏 杨效东 邓晓保 余宇平 (1): 70
莱州湾及黄河口水域渔业生物多样性及其保护研究	邓景耀 金显仕 (1): 76
骨龄学方法测定中国水蛇的年龄	易祖盛 何海晏 陈惠英 (1): 83
獐的摄食行为研究 (英文)	张恩迪 (1): 88
蛇雕繁殖生态的初步观察	熊志斌 冉景丞 陈会明 谭成江 全修建 (1): 92
太行山猕猴颅容量与颅骨其他变量的相关性研究	路纪琪 吕九全 薛德明 张建军 瞿文元 (1): 94